文章编号: 1006-4354 (2013) 05-0036-04

西安市酸雨的气候特征及气象条件分析

妙娟利

(陕西省气象信息中心,西安 710014)

摘 要:利用 1990—2009 年西安市酸雨观测站的酸雨观测资料并结合当时的气象条件(风、降水、雾),分析了 20 a 来西安市酸雨变化特征以及不同气象条件对酸雨的影响。结果表明:西安市发生酸雨的频率为 27.4%,季节变化明显,其中 12 月最高,10 月最低;酸雨 pH 值波动幅度 1998—2004 年最大,2005—2009 年最小且趋于平稳;大雨天气、风速≤3 m/s或有雾时易发生酸雨;出现酸雨时,风向以东北风居多。

关键词: 酸雨; pH 值; 酸雨频率; 气象条件 中图分类号: X517 **文献标识码:** A

酸雨是指 pH 值小于 5.60 的大气降水 (雨、 雪、雹等)[1]3。通常认为,人类排放的硫氧化物 和氦氧化物在大气环境中经过各种氧化反应生成 的硫酸和硝酸是导致降水酸化的主要致酸污染物 质[2]。随着现代工业的快速发展,人口剧增和城 市化过程的加快,燃煤、燃油排放的硫氧化物和 氮氧化物逐年增加[3-4],酸雨的频率和覆盖率明 显增加,酸雨污染日趋严重[5]。我国酸雨区主体 位于长江以南的广大地区, 北方也存在小范围的 酸雨区。从全国来看,酸雨发生的范围总体上呈 扩大趋势, 北方酸雨发生范围扩大明显, 南方基 本保持不变,酸雨污染重灾区由西南逐步转移至 华中和华南中部[6]。我国酸雨面积已占国土面积 的 40%,成为继欧洲和北美之后的第三大酸雨 区[7],西安市处于我国酸雨区西北边缘。研究酸 雨变化特征及与气象条件的关系,有利于更有效 的治理酸雨。利用 1990-2009 年西安市酸雨观 测站的数据,对西安市酸雨变化特征及其与气象 条件的关系进行分析和探讨。

1 资料与方法

西安市酸雨观测站是中国气象局于 1989 年设立的第一批国家级酸雨观测站,所用资料为 1990—2009 年西安市酸雨观测站的降水 pH 值

以及降水量、风向风速、雾等地面气象观测资料,共收集有效样本989次。

根据国家环境保护总局制定的降水酸度分级标准,将pH值分为5个级别:小于4.00为强酸性,4.00~4.49为较强酸性,4.50~5.59为弱酸性,5.60~7.00为中性,大于7.00为碱性^[8]。将12月一翌年2月、3—5月、6—8月、9—11月划分为冬、春、夏、秋四季。

2 西安市酸雨特征

2.1 降水 pH 值月变化

西安地处关中平原,土壤呈弱碱性。由图 1 可知,20 a 来西安市降水 pH 值月平均变化不明显,在 $5.60\sim6.48$ 之间,5-10 月 pH 值居中,无明显变化,1-4 月、11-12 月 pH 值变化波动幅度较大。大气降水 pH 值的这种月变化,是酸性废气排放、大气降水量和沙尘活动等多因素综合作用的结果。每年 11 月到次年 3 月为西安市取暖期,因为消耗大量燃料,大气中 SO_2 和 NO_X 的浓度增加,为酸雨形成提供了丰富的物源;春季沙尘暴活动频繁,气候干燥,地面浮尘多,降水偏少,使得大气中弱碱性浓度大且滞留时间长,因此在此期间降水 pH 值月起伏较大。5—10 月降水明显增加,对大气中浮尘有洗涤作

收稿日期: 2013-05-29

作者简介:妙娟利(1977一),女,陕西岐山人,学士,工程师,从事地面气象数据质量控制与资料应用。

用,所以降水 pH 值变化比较平稳。月 pH 值最小值在 3.55~4.75 之间,变化起伏较大,而且西安每月都有酸雨出现。

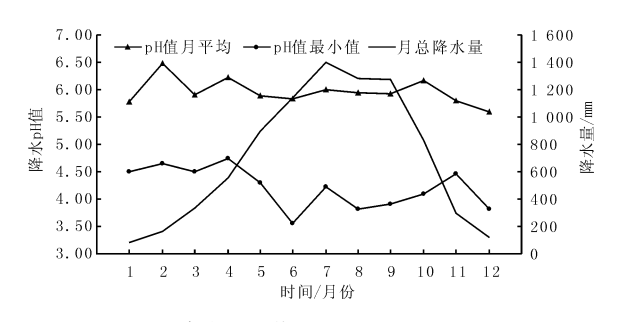


图 1 西安降水 pH 值月平均、月最小逐月变化

2.2 酸雨 pH 值月变化

酸雨频率是指在降水总次数中,pH值小于5.60的降水发生的比例,即:酸雨频率=(酸雨样品数/降水样品数)×100%[1]24。由图2知,酸雨频率有明显的月变化,10月最低,为15%;在降水偏少的12月最高,为47%。西安市酸雨频率为27.4%。酸雨pH值与月酸雨频率基本上呈反相位关系,在酸雨频率高的1、3、6、9、12月,酸雨pH值偏小;反之,酸雨频率低的2、4、7月,酸雨pH值偏大。酸雨频率季节分布从大到小依次为冬季、春季、秋季、夏季,与西安市SO₂月际变化[9]相吻合。冬季酸雨频率远远高于其他季节。酸雨频率的季节性变化主要是由于冬季取暖燃烧化石燃料,排放大量的SO₂和NO_x;夏季降水多,强度大,对空气中的尘埃具有较强的洗涤作用。

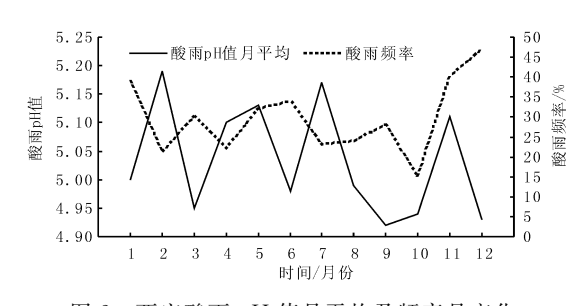


图 2 西安酸雨 pH 值月平均及频率月变化

2.3 降水 pH 值年变化

图 3 为 1990—2009 年西安市降水 pH 值年际变化。20 a 来西安市降水 pH 值年平均值为5.95,年际变化分为三个时段:1990—1997 年变化呈双峰型,峰值为1993 年的5.99 和1996

年的 6.01, 低谷为 1992 年的 5.64 和 1995 年的 5.60, 这 7 a 中变化较小; 1998—2005 年也呈双峰型,但与前一时段相比,波动变化较大,峰值为 1999 年的 6.69 和 2003 年的 6.59,低谷为 2002 年的 5.75 和 2005 年的 5.59; 2005 年后,降水 pH 值的年际变化逐渐趋于平稳。

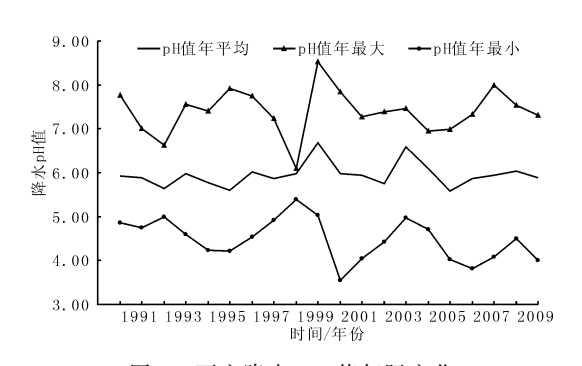


图 3 西安降水 pH 值年际变化

20 a 降水最大 pH 值和最小 pH 值的平均值 分别为 7.40、4.49,年际变化特征: 1990— 1992年,最大值和最小值逐渐靠近平均值,从 1993年开始,最大值和最小值逐渐偏离平均值, 1995年偏离程度最大,随后又逐渐靠近平均值, 1998年最大、最小和平均值基本重合; 1998— 2000年最大值和最小值突然偏离平均值,最大 值在 1999年,为 8.53,最小值在 2000年,为 3.55,也是 20 a 中的极值; 从 2001年开始最大 和最小值逐渐靠近平均值,2002—2009年,最 大、最小和平均值三者变化趋势基本一致。

降水 pH 值这种年际变化的原因为: 1997年开始的"煤改气工程",显著降低了 SO_2 排放量,降水 pH 值有所回升。2000年后,随着城市新一轮产业结构调整,工业废气排放量有所下降,但机动车辆迅速增加,西安机动车保有量在2010年3月已突破100万辆,此后不足9个月,全市就增加了16万辆机动车,由此交通尾气排放量增大,城市大气中 NO_X 浓度增大,为酸雨的形成提供了新的物源。

2.4 酸雨 pH 值年变化

由图 4 可知,1990—1997 年酸雨 pH 值年际变化不明显,年平均值在 $5.00 \sim 5.34$ 之间,酸雨频率为 $19\% \sim 45\%$; 1998—2009 年,酸雨pH 值的年变化波动幅度较大,年平均值在 4.61

~5.40 之间, 其中 2 个高峰出现在 1998 年、2003—2004 年, 2 个低谷出现在 2000 年、2006 年, 1998—2002 年酸雨频率有明显的上升趋势, 2003 年明显下降, 随后在 2004 年又出现了上升, 2005—2009 年, 酸雨频率相对平稳。1998年酸雨频率 2%, 为 20 a 年中最低值。

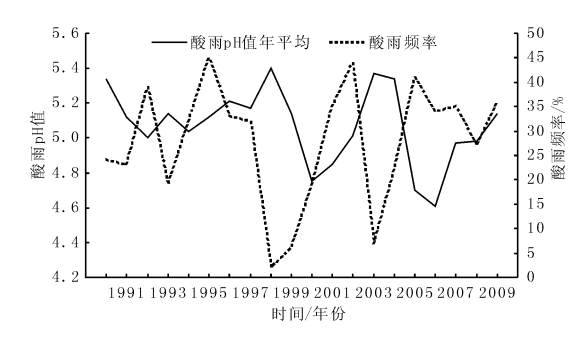


图 4 西安酸雨 pH 值和频率年变化

3 酸雨与气象条件的关系

3.1 酸雨与降水强度的关系

将每次酸雨监测期间所得的降水量(R)划分为 5 个等级(毛毛雨为 0.1 mm $\leq R < 2.0$ mm, 小雨为 2.0 mm $\leq R < 10.0$ mm, 中雨为 10.0 mm $\leq R < 25.0$ mm, 大雨为 25.0 mm $\leq R < 50.0$ mm, 暴雨为 $R \geq 50.0$ mm),并对西安市不同降水等级下的降水 pH 值、酸雨频率的变化进行分析(见表 1)。可见:每个降水等级里的 pH 平均值均大于 5.6,降水越大,pH 值越低;暴雨天气时酸雨频率最小,其次是毛毛雨、小到中雨,最大的是大雨天气。毛毛雨时,降水强度弱,不利于空气中的颗粒物下降:暴雨时,

表 1 不同降水等级下的降水 pH 值、 酸雨频率统计结果

降水等级	毛毛雨	小雨	中雨	大雨	暴雨
pH 值	6.04	5.97	5.94	5.83	5.84
酸雨频率/%	23.4	28.6	26.7	34.5	20.0

降水对空气中的颗粒物有冲刷和稀释作用,所以 在这两种降水天气下,不利于酸雨出现。在小 雨、中雨、大雨天气时,容易出现酸雨。

3.2 酸雨与风的关系

风对大气中污染物的扩散和输送起着决定性 的作用。统计西安酸雨日定时风向(图 5)发 现,西安发生酸雨时,风向以东北风居多,其次

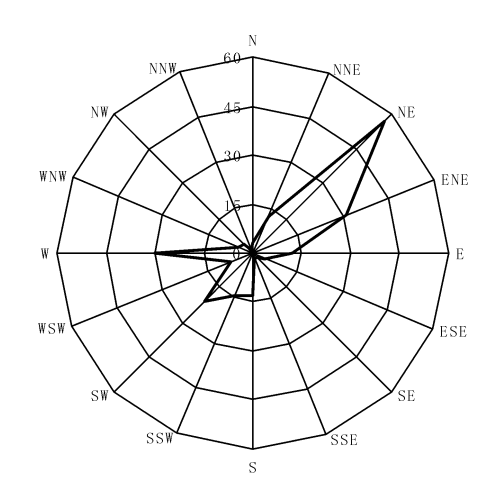


图 5 西安出现酸雨时的风向玫瑰图

是西风和西南风。

西安地处关中盆地中部,受地形影响年平均 风速为 1.6 m/s,在观测的 20 a 中,出现酸雨 271 次,其风速分布见表 2。当风速≤3 m/s 时, 污染颗粒不易扩散,酸雨频率为 84.9%,风速 逐渐增大,出现酸雨的频率越来越小。

表 2 西安酸雨与风速对应情况

风速/(m/s)	≤1	2	3	4	5	≥6
酸雨频次/次	84	91	55	26	10	5
酸雨频率/%	31.0	33.6	20.3	9.6	3.7	1.8

3.3 酸雨与雾的关系

雾形成的天气条件是低层风速小,湿度较大,大气层结稳定,大气中的污染物不宜扩散,加之水汽充沛,一旦降水很容易形成酸雨。西安20 a 中出现酸雨 271 次,有雾的达 93 次,占34.3%。

4 结论

4.1 西安市发生酸雨的频率为 27.4%。降水 pH 值在降水量多的 5—10 月变化平稳,在降水量偏少的 1—4 月、11—12 月波动幅度大。酸雨 pH 值与月酸雨频率基本上呈反相位关系,在酸雨频率高的 1、3、6、9、12 月,酸雨 pH 值偏小;反之,酸雨频率低的 2、4、7 月,酸雨 pH 值偏大。酸雨频率有明显的季节性,从大到小依次为冬季、春季、秋季、夏季,12 月最高,10 月最低,每个月都有酸雨出现。

文章编号: 1006-4354 (2013) 05-0039-03

陕西省气象用户服务业务系统

张 宏1,任 芳2,杨承睿2

(1. 陕西省气象用户服务中心,西安 710014; 2. 陕西省气象服务中心,西安 710014)

摘 要:根据陕西省气象服务热线的特点,开发了陕西省气象用户服务业务系统。该系统具有气象信息查询、服务效果展示、业务监督管理等功能,在全省 11 个气象用户服务中心应用,发挥了较好的作用。

关键词:服务热线;业务平台;查询统计;业务管理

中图分类号: P49

文献标识码: B

陕西 400-6000-121 气象服务热线 (简称 400 热线) 从 2010 年 8 月开通以来,随着话务量不断增加,咨询范围不断拓展,服务内容不断丰富,特别是地市级 400 热线开通以后,因属地化服务所造成的管理不统一、信息不一致、服务不规范、数据共享不充分等问题日益突显,较大影响了客

服工作的开展。针对存在的这些问题,研发陕西 省气象用户服务业务系统,较好地解决了实际业 务的瓶颈问题,提高了服务的水平和效益。

1 系统设计

陕西省气象用户服务业务系统通过 B/S 方式,采用面向服务的 SOA^[1-2] (service-oriented

收稿日期: 2013-07-08

作者简介: 张宏 (1967—), 男, 陕西耀县人, 工程师, 从事气象服务。

- 4.2 降水 pH 值在 1990—1997 年、1998—2005 年两个阶段均呈双峰型,但后一阶段比前一阶段 波动幅度明显偏大,2005 年后,降水 pH 值的 年际变化逐渐趋于平稳。
- 4.3 1990—1997 年酸雨 pH 值年际变化波动幅度小,1998—2004 年波动幅度大,2005—2009又趋于平稳。
- 4.4 毛毛雨或暴雨时,不利于酸雨出现;在小雨、中雨或大雨天气时,容易出现酸雨。风速≤3 m/s 时,酸雨频率为84.9%,风速逐渐增大,酸雨频率越来越小。有雾时易发生酸雨。西安市出现酸雨时,风向以东北风居多,其次是西风和西南风。

参考文献:

- [1] 中国气象局.酸雨观测业务规范 [M].北京: 气象出版社,2005.
- [2] 唐孝炎,张远航,邵敏.大气环境化学[M]. 北京:高等教育出版社,2006.

- [3] 李宗恺,王体键,金龙山.中国的酸雨模拟及控制对策研究[J].气象科学,2000,20(3):339-347.
- [4] 高龙. 汉台区 2006——2009 年酸雨特征及对策建议[J]. 陕西气象, 2013 (3): 25-27.
- [5] 吴洪颜,濮梅娟,商兆堂,等.江苏省 2006 年酸 雨分布特征及其与气象条件的关系分析 [J].气象科学,2008,28(5):563-567.
- [6] 赵艳霞,候青.1993—2006 年中国区域酸雨变化特征及成因分析[J].气象学报,2008,66(6):1032-1042.
- [7] 郭永林. 我国的酸雨问题和防治 [J]. 山西财经 大学学报: 研究专刊, 2002, 24: 106.
- [8] 韩亚芬,孙跟年,李琦等.西安市酸雨及化学成分时间变化分析[J].陕西师范大学学报:自然科学版,2006,34(4):109-113.
- [9] 程继夏,刘立国,王斌.煤改气工程对改善西安市大气环境的趋势分析[J].长安大学学报:建筑与环境科学版,2003,20(3):44-46.